

等离子体化学气相沉积非晶 $\text{SiO}_x : \text{H}$ ($0 \leq x \leq 2.0$) 薄膜的红外光谱*

何乐年

(浙江大学信息与电子工程学系, 杭州 310027)

摘要: 以等离子体化学气相沉积法 (PECVD) 在 300°C 下用 SiH_4 和 O_2 混合气体制备了非晶 $\text{SiO}_x : \text{H}$ ($a\text{-SiO}_x : \text{H}$, $0 \leq x \leq 2.0$) 薄膜, 并用傅里叶红外光谱 (FT-IR) 测试分析了薄膜中的 Si—O—Si 键红外吸收特性. Si—O—Si 伸缩振动模在 1050cm^{-1} 和 1150cm^{-1} 附近有两个吸收峰, 而弯曲振动模在 800cm^{-1} 附近有一个吸收峰. 1050cm^{-1} 和 1150cm^{-1} 吸收带的吸收强度之和 I_{sum} 与薄膜中的 Si 原子密度 N_{Si} 之比 $I_{\text{sum}}/N_{\text{Si}}$ 在氧含量 $x = 0-2.0$ 的范围内和 x 成正比. 求得氧含量比例系数 A_{SiO} (Si—O 谐振子强度的倒数) 为 $1.48 \times 10^{19}\text{cm}^{-1}$. 另外, $a\text{-SiO}_2$ 薄膜的 800cm^{-1} 和 1050cm^{-1} 吸收峰的表现吸收系数 α_{app} 和膜厚 d 成正比: $\alpha_{\text{app}} = kd$, 求得吸收比例系数 k 分别为 3.2×10^3 和 $2.9 \times 10^4\text{cm}^{-1}$. 比较发现 k 值的大小和 $a\text{-SiO}_2$ 薄膜的致密性密切相关. 利用上述 A_{SiO} 和 k 比例系数, 可快速简便地用非破坏性的 FT-IR 测定 PECVD $a\text{-SiO}_x : \text{H}$ 的氧含量 x 以及 $a\text{-SiO}_2$ 的膜厚 d .

关键词: PECVD; 非晶氧化硅薄膜; 红外吸收光谱; Si—O—Si 键

PACC: 8115H; 7830

中图分类号: O484.1

文献标识码: A

文章编号: 0253-4177(2001)05-0587-07

1 引言

等离子体化学气相沉积法 (PECVD) 沉积的非晶 $\text{SiO}_x : \text{H}$ ($a\text{-SiO}_x : \text{H}$) 薄膜, 由于其生长温度较低, 目前已被广泛地用于各种半导体器件中. 例如利用 $a\text{-SiO}_x : \text{H}$ 禁带宽度可变的特性, 将其用于非晶硅 ($a\text{-Si} : \text{H}$) 薄膜太阳能电池的光吸收层, 以提高光吸收效率; $a\text{-SiO}_2$ 薄膜可作为半导体芯片的钝化层, 金属-氮化物-氧化物-半导体 (MNOS) 存储器件中的电荷存储层, 以及 $a\text{-Si} : \text{H}$ 薄膜晶体管 (TFT) 中的栅介质层等^[1-3].

$a\text{-SiO}_x : \text{H}$ 的电学、光学性能受其化学结构影响很大. 并且氧含量 x 对其特性有决定性的影响. 傅里叶红外吸收光谱 (FT-IR) 是一种非破坏性的测试手段, 可对薄膜的化学结构作可靠有效的分析. 此外, FT-IR 也是定量测定 $a\text{-SiO}_x : \text{H}$ 薄膜中 Si—O

和 Si—H 键含量的有效手段^[4-7]. 例如, 通过测定 Si—M ($M = \text{O}, \text{H}$) 键的积分吸收强度 I_{SiM} , 用下式可计算出 Si—M 键的密度 N_{SiM} :

$$N_{\text{SiM}} = A_{\text{SiM}} I_{\text{SiM}} \quad (1)$$

其中 A_{SiM} 是比例系数 (Si—M 谐振子强度的倒数), 以 cm^{-1} 为单位. I_{SiM} 由下式给出:

$$I_{\text{SiM}} = \int \alpha(\omega) d\omega \quad (2)$$

其中 α 是 Si—M 振动模的吸收系数; ω 是振动频率, 以波数 (cm^{-1}) 为单位. 积分区间为整个吸收带. α 由下式求出:

$$\alpha = \frac{1}{d} \ln \frac{T_0(\omega)}{T(\omega)} \quad (3)$$

式中 $T_0(\omega)$ 是薄膜基片的红外透射光强度; $T(\omega)$ 是薄膜/基片系统的透射光强度; d 是膜厚. 目前, 有大量有关用 FT-IR 分析 $a\text{-SiO}_x : \text{H}$ ($x \ll 2.0$) 膜的化学结构, 定量测定 Si—O—Si 和 Si—H 键密度的报道^[4-7]. 并推算出了比例系数 A_{SiM} 的值. 但是, 如

* 教育部留学回国人员基金资助项目.

何乐年 男, 1962 年出生, 副教授, 现从事硅基金薄膜及器件的物理特性及工艺研究.

2000-03-29 收到, 2000-06-15 定稿

表 1 所示由于样品制作方法的限制, 薄膜的氧含量范围较小以及实验误差, 至今还没有得到统一的 A_{SiO} 值, 直接影响了用 FT-IR 定量测定薄膜的氧含量.

表 1 a-SiO_x:H 的比例系数 A_{SiO} 值的比较

Table 1 Comparison of the Values of the Proportionally Coefficient, A_{SiO} , for the a-SiO_x:H Films

	样品制作的方法	x 值范围	$A_{\text{SiO}}/\text{cm}^{-2}$
Yacobi <i>et al.</i> ^[5]	溅射	< 0.05	1.9×10^{19}
Suchanech <i>et al.</i> ^[7]	溅射	< 0.45	1.0×10^{19}
Stolze <i>et al.</i> ^[16]	溅射	0.25—1.22	6.5×10^{19}
Lucovsky <i>et al.</i> ^[14]	PECVD	< 0.13	9.8×10^{18}

另外, Dial 等人^[8]和 Wong^[9]分别发现高温热氧化以及热分解(热 CVD) SiO₂ 膜的 Si—O—Si 伸缩和弯曲振动模的表观吸收系数 $\alpha_{\text{app}} = \ln \frac{T_0(\omega)}{T_{\text{min}}(\omega)}$ 和膜厚 d (在 0—0.6 μm 的范围内) 成正比: $\alpha_{\text{app}} = kd$, 其中 $T_{\text{min}}(\omega)$ 是与吸收峰相对应的最小红外透射光强. $T_0(\omega)$ 和 $T_{\text{min}}(\omega)$ 之间满足 Lambert-Bouguer 定律: $T_{\text{min}}(\omega) = T_0(\omega) e^{-kd}$. 因此, 利用 α_{app} 和 d 的比例关系, FT-IR 也可用于上述 a-SiO₂ 膜厚的测定. 那么, PECVD 法沉积的 a-SiO₂ 膜是否也具有同样的特性? 另外 a-SiO₂ 应用方向不同, 对其膜厚的要求也不同. 因此, 研究 a-SiO₂ 膜的物理特性与膜厚的关系显然十分重要.

本研究用 PECVD 法沉积 a-SiO_x:H ($0 \leq x \leq 2.0$) 薄膜, 并用 FT-IR 光谱仪测试分析 Si—O—Si 伸缩振动模的吸收特性随 x 的变化规律, 求出全氧含量范围 ($0 \leq x \leq 2.0$) 的比例系数 A_{SiO} ; 研究 a-SiO₂ 膜中的 Si—O—Si 伸缩振动模和弯曲振动模的 α_{app} 和 I_{SiO} 与膜厚的关系, 并讨论 Si—O—Si 伸缩振动模和弯曲振动模的红外吸收特点.

2 实验

样品是用卧式 PECVD 沉积设备制作的, 反应室简图如图 1 所示. 样品基板是单晶硅(c-Si)片, 以 SiH₄ 和 O₂ 为气体原料, 并将 SiH₄ 气流流量固定在 1.5 sccm, 改变 [O₂]/[SiH₄] 的流量比 (0—1.5) 以得到不同的氧含量 x 的薄膜. 反应压力为 1.26 Pa, 13.56 MHz 的射频源 (RF) 功率固定在 10 W, 沉积温度为 300 °C. 样品的膜厚为 0.8—1 μm . a-SiO₂ 系列样品的沉积条件为: 将 [O₂]/[SiH₄] 流量比和 SiH₄

的流量分别固定在 1.5 和 1.8 sccm, 反应压力 1.26 Pa, 沉积温度 300 °C, 射频功率 10 W. 在以上条件下, 薄膜的沉积速度为 $16 \pm 1 \text{ nm/min}$. 通过改变沉积时间以得到膜厚 0.1—1.1 μm 的 a-SiO₂ 薄膜. 薄膜沉积之前, 为去除基片表面的水气和其它污染, 用氢气等离子体进行表面进行清洗. 条件为: 时间 15 min, 压力 13.3 Pa, RF 功率 5 W.

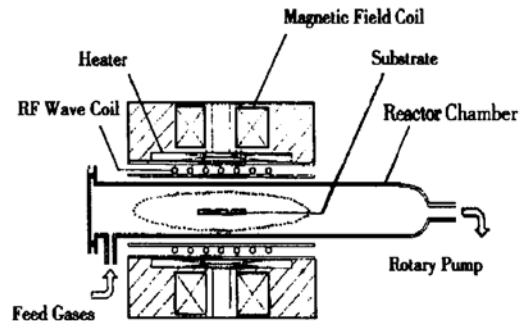


图 1 PECVD 反应室示意图

FIG. 1 Schematic of the Reaction Chamber of PECVD

用电子探针微分析仪 (EPMA) 测试 a-SiO_x:H 薄膜中的氧含量 x , 并用 c-Si 和石英 (SiO₂) 作标准样品. 另外, 还用 X 射线光电子能谱仪 (XPS) 通过测定 Si2p 和 O1s 能谱, 校正 x 值. XPS 测试用样品是沉积在 c-Si 上, 厚度约 50 nm 的 a-SiO_x:H 薄膜样品. 红外吸收分析是用傅里叶变换红外吸收仪 (Nicolet 50X) 测试的, 入射光垂直于样品表面. 测试方法是先后测试 c-Si 基片和样品的吸收谱, 然后相除得到 a-SiO_x:H 薄膜的吸收光谱. 在充分考虑到无吸收光谱的基线后, 决定 a-SiO_x:H 的吸收光谱的基线^[10, 11].

3 实验结果

3.1 沉积速率及氧含量与 [O₂]/[SiH₄] 流量比的关系

图 2 是 a-SiO_x:H 薄膜的沉积速率及氧含量 x 与 [O₂]/[SiH₄] 流量比的依赖关系曲线. 当 [O₂]/[SiH₄] = 1.2 时, 薄膜的 x 值达到化学配比 2.0; 当 [O₂]/[SiH₄] > 1.2, 氧含量 $x = 2.00 \pm 0.05$ 保持不变, 但沉积速率快速下降. 这是由于 O₂ 流量较小时, 增加的 O₂ 大部参与与 SiH₄ 气体的反应形成 Si—O—Si 键, 使薄膜中的氧含量增加. 当 O₂ 流量

增加, 使 x 值增加到化学配比 2.0 后, 增加的 O_2 不再参与与 SiH_4 的反应. 这时, 由于反应气体压力 (1.26 Pa) 一定, 因此增加的 O_2 使得反应室中的 SiH_4 气体的相对浓度下降, 从而沉积速率快速下降.

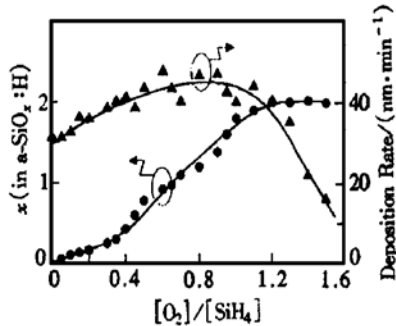


图 2 $\text{a-SiO}_x : \text{H}$ 薄膜的沉积速率及氧含量 x 与 $[\text{O}_2]/[\text{SiH}_4]$ 体积流量比的依存关系

FIG. 2 Deposition Rate and O Content x for $\text{a-SiO}_x : \text{H}$ Films as a Function of the Gas Volume Ratio of $[\text{O}_2]/[\text{SiH}_4]$

3.2 $\text{a-SiO}_x : \text{H}$ 红外光谱

图 3 是 $\text{a-SiO}_x : \text{H}$ ($x = 0.16$) 的 IR 透射光谱图. 图中的箭头表明了 Si-O-Si 和 Si-H 键的特征吸收峰. 按照 Lucovsky 等人的研究^[4,11], $\text{a-SiO}_x : \text{H}$ 膜中 Si-H 伸缩以及弯曲振动模的吸收峰分别出现在 $2000-2300\text{cm}^{-1}$ 以及 $600-900\text{cm}^{-1}$

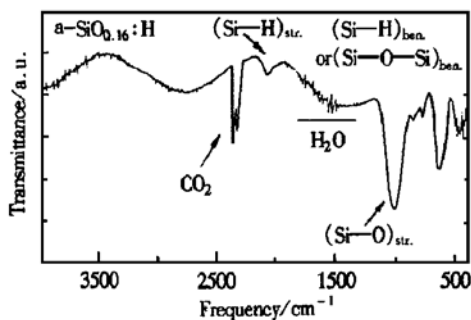


图 3 $\text{a-SiO}_x : \text{H}$ ($x = 0.16$) 薄膜的 FT-IR 透射谱图

FIG. 3 FT-IR Spectrum for $\text{a-SiO}_x : \text{H}$ Films with $x = 0.16$

范围内; Si-O-Si 伸缩、弯曲以及摇摆振动模的吸收峰分别出现在 $950-1100\text{cm}^{-1}$, $600-800\text{cm}^{-1}$, 以及 500cm^{-1} 附近. 因 3500cm^{-1} 附近无 O-H (属于 Si-OH 和 H-OH 分子团中) 伸缩振动模的吸收峰出现^[12], 因此根据 FT-IR 的测试精度, 可以认为 O-H

H 键的密度约低于 10^{20}cm^{-3} . 有关 Si-H 伸缩和弯曲模的特性, 已在以前的论文中已详细讨论过^[13]. 在此主要讨论 Si-O-Si 键的红外吸收特性.

图 4 为 $x = 0.16, 0.92, 2.0$ 的薄膜在 $400-1600\text{cm}^{-1}$ 范围内的 IR 吸收谱图. 从图中可见, 1050cm^{-1} 附近的 Si-O-Si 伸缩吸收峰随 x 的增大向高波数方向移动, 并且在 1150cm^{-1} 附近出现一个较宽的吸收峰. 在 a-SiO_2 中^[14], 即 $\text{Si}(\text{O}_4)$ 结构单元中, 有两种 Si-O-Si 伸缩振动吸收峰出现: (1) 相邻氧原子在同一相中的非对称伸缩吸收 (AS_1); (2) 和 AS_1 中的氧原子不同相的非对称伸缩振动吸收 (AS_2). 由此, 1050cm^{-1} 和 1150cm^{-1} 的吸收带可分别归类于 AS_1 和 AS_2 吸收带.

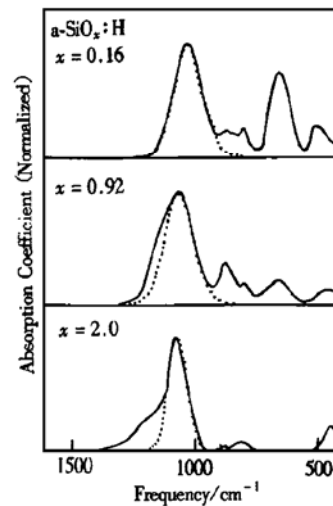


图 4 $\text{a-SiO}_x : \text{H}$ ($x = 0.16, 0.92, 2.0$) 薄膜在 $400-1600\text{cm}^{-1}$ 范围内的吸收谱图 点线是用高斯分布函数对主吸收峰计算机模拟的结果

FIG. 4 Absorbance Spectra over the Range of from 400 to 1600cm^{-1} for $\text{a-SiO}_x : \text{H}$ Films with $x = 0.16, 0.92$ and 2.0 The broken line is the result of a curve-fitting analysis assuming a Gaussian shape for the main peak.

图 5(a) 是 AS_1 吸收带的半幅度 (FWHM) 和 x 的依赖关系. 从图可见, 在 $x = 1.0$ 附近, FWHM 的值最大. 这一结果说明, 在本研究中的沉积条件下制备的薄膜中, Si 和 O 原子是均匀结合的^[15].

AS_1 与 AS_2 吸收带的吸收强度之和 I_{sum} , 以及 AS_1 吸收带的吸收强度 I_{AS_1} 与薄膜中的 Si 原子密度 N_{Si} 的比值和 x 的依赖关系如图 5(b) 所示. I_{AS_1} 值是图 4 所示用高斯函数在计算机上模拟后求出的. 因为

a-SiO_x:H 中的 Si 密度 $N_{Si}(x)$ 随 x 减小, 因此设定 $N_{Si}(x) = (5 - 1.25x) \times 10^{22} \text{ cm}^{-3}$. 此关系是按照 a-Si 中 Si 原子的密度 $5 \times 10^{22} \text{ cm}^{-3}$, 以及 a-SiO₂ 中 Si 密度 $2.5 \times 10^{22} \text{ cm}^{-3}$ 而推定的. 从图中可发现 $I_{sum}/N_{Si}(x)$ 在 $x = 0-2.0$ 范围内和 x 成比例关系. 而当 $x > 0.6$ 时, 随 x 的增大 I_{AS_1}/N_{Si} 值的增加速率变小. 从 $I_{sum}/N_{Si}(x)$ 和 x 的比例关系, 可求出式(1)中的比例系数 $A_{SiO} = 1.48 \times 10^{19} \text{ cm}^{-2}$. 考虑到 I_{sum} 实验值的误差, 本研究中的 A_{SiO} 值的精度范围为 $\pm 5\%$.

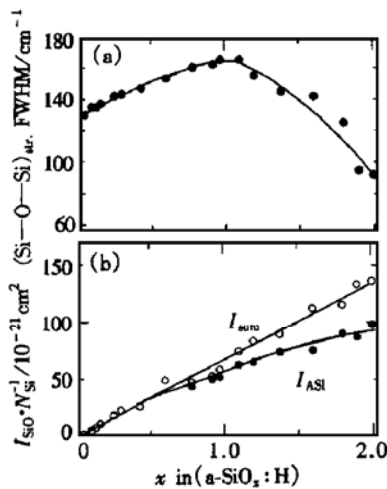


图5 (a) AS₁ 吸收带的半幅度(FWHM) (b) AS₁ 与 AS₂ 吸收带的吸收强度之和 I_{sum} , 以及 AS₁ 的吸收强度 I_{AS_1} 和薄膜中的 Si 原子密度 N_{Si} 的比值和 x 的依赖关系. I_{AS_1} 是如图 4 所示由计算机模拟而求得的; (b) 中的直线是由对实验点用最小二乘法而求得的, 线性拟合关系系数 χ^2 为 0.96.

FIG. 5 (a) Values of the FWHM of Main Peak (AS₁) and (b) Ratio Between Sum of Absorbance Intensities of both AS₁ and AS₂ Bands, I_{sum} , and that of AS₁ Band, I_{AS_1} , Determined by Fitting the Absorption Spectra Shown in FIG. 4 to Density of Si Atoms in a-SiO_x:H Films, N_{Si} , as a Function of x . The straight line is the result of least-square fit on the experimental data, and the quality of the linear fit is given by the value of the correlation factor χ^2 .

3.3 a-SiO₂ 红外光谱

图 6 是 0.67 μm 膜厚的 a-SiO₂ 在 400—4000 cm^{-1} 范围的 IR 透射光谱图. 在 2.2 节中已有说明, 1000—1100 cm^{-1} 和 800 cm^{-1} 附近的吸收峰分别是 Si—O—Si 键的伸缩振动和弯曲振动吸收峰. Si—O—Si 的摇摆振动吸收峰出现在 500 cm^{-1} 附近.

Si—H 和 O—H 键的伸缩振动吸收带应是分别在 2000—2300 cm^{-1} 以及 3300—3650 cm^{-1} 处. 从图 6 中, 可知没有明显的 Si—H 和 O—H 键吸收峰, 因此 Si—H 和 O—H 键的密度均在 10^{20} cm^{-3} 以下. 本研究中的其他 a-SiO₂ 样片的 FT-IR 谱图中, 也同样没有发现明显的 Si—H 和 O—H 键吸收峰.

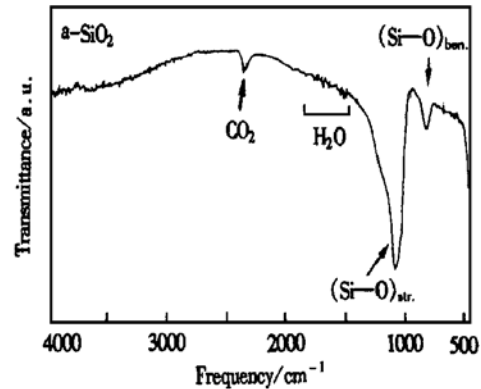


图6 膜厚 $d = 0.67 \mu\text{m}$ 的 a-SiO₂ 薄膜 FT-IR 透射谱图

FIG. 6 FT-IR Spectrum for a 0.67 μm Thick a-SiO₂ film

图 7 是膜厚 0.16、0.32、0.67 μm 样片在 400—1600 cm^{-1} 范围的吸收谱图. 从图中可发现, 1050 cm^{-1} 附近的 Si—O—Si 伸缩振动吸收峰, 随着膜厚递增逐渐向高波数方向漂移, 并且 1150 cm^{-1} 处的较宽的吸收峰相对 1050 cm^{-1} 吸收峰逐渐变大. 根据 2.2 节中的讨论, 1050 cm^{-1} 和 1150 cm^{-1} 吸收带分别归属于 AS₁ 和 AS₂ 吸收带. 在前一篇论文中我们已讨论了 Si—O—Si 伸缩振动吸收峰随着膜厚递增而漂移的问题^[16]. 在此, 主要讨论吸收带的积分吸收强度 I_{SiO} 、表观吸收系数 α_{app} 和膜厚 d 的关系.

图 8 是 800 cm^{-1} 和 1050 cm^{-1} 吸收峰的 α_{app} 和 d 的关系. 如图所示 800 cm^{-1} 和 1050 cm^{-1} 吸收峰在 0—1.1 μm 的范围内 α_{app} 和 d 成正比: $\alpha_{app} = kd$, 求得比例系数 k , 分别为 3.2×10^3 和 $2.9 \times 10^4 \text{ cm}^{-1}$.

图 9(a) 是 800 cm^{-1} 吸收带的吸收强度 I_{800} 曲线, (b) 是 AS₁ 和 AS₂ 吸收带的吸收强度之和 I_{sum} , 以及 AS₁ 吸收带的吸收强度 I_{AS_1} 与 d 的关系. I_{AS_1} 的值是如图 7 所示用高斯分布函数对 1050 cm^{-1} 的主吸收峰作计算机模拟后求得的. 如图 9(b) 所示, I_{sum} 值和 d 成正比, 而 I_{AS_1} 的值随 d 的增加而缓慢地增大. 和 Si—O—Si 伸缩振动模的积分强度形成对比的是 I_{800} 值不随 d 变化.

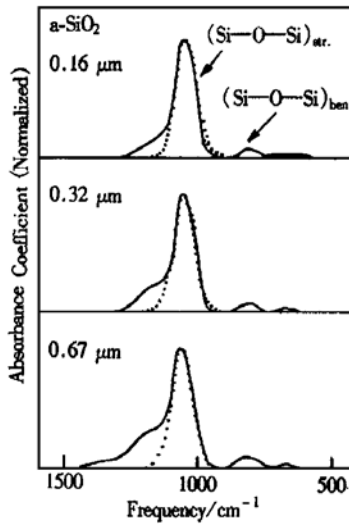


图 7 膜厚为 0.16、0.32 和 0.67 μm 的 a-SiO₂ 膜在 400—1600 cm^{-1} 范围内的吸收谱图 点线是用高斯分布函数对主吸收峰计算机模拟的结果

FIG. 7 Vibrational Spectra over the 400—1600 cm^{-1} Range for a-SiO₂ Films with Film Thickness of 0.16, 0.32 and 0.67 μm The broken line is the result of a curve-fitting analysis assuming a Gaussian shape for the main peak.

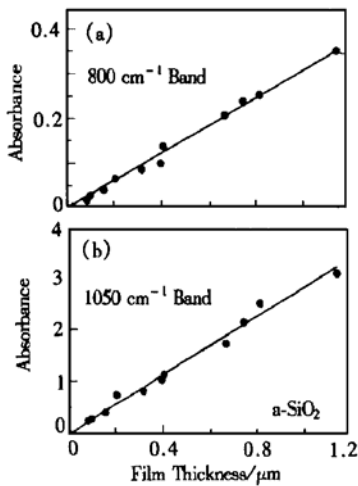


图 8 (a) 800 cm^{-1} 和 (b) 1050 cm^{-1} 吸收峰的表现吸收系数 α_{app} 与 a-SiO₂ 膜厚的关系

FIG. 8 The Apparent Absorbance, α_{app} , for (a) 800 cm^{-1} and (b) 1050 cm^{-1} Bands as a Function of a-SiO₂ Film Thickness

4 讨论

从图 5(b), 我们得到了 x 在 0—2.0 全范围内

的氧含量比例系数 $A_{\text{SiO}} = 1.48 \times 10^{19} \text{cm}^{-2}$, 用此系数, 并根据式 (1) 可快速方便地求出 a-SiO_x : H 膜中的氧原子含量. 值得注意的是当 $x < 0.6$ 时, A_{SiO} 值和 AS_1 相关联; 当 $x > 0.6$ 时, A_{SiO} 值和 AS_1 及 AS_2 两者都相关. 比较表 1 中的结果, 我们可以发现, 本研究中的 A_{SiO} 值和其它研究者所得到的值有差异. 其原因可能是由于 x 的范围不同, 以及实验误差所造成的.

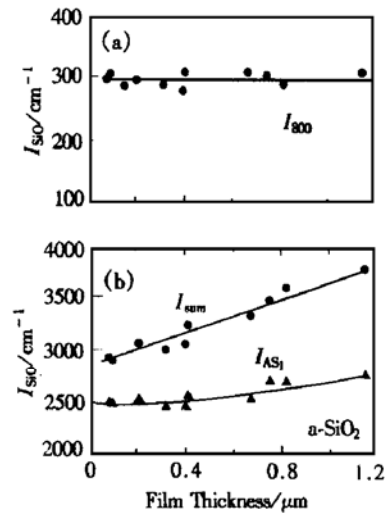


图 9 (a) Si—O—Si 弯曲振动模的吸收积分强度 I_{800} , (b) AS_1 和 AS_2 吸收带的吸收积分强度之和 I_{sum} 和由图 7 所示计算机模拟后得到的 AS_1 吸收带的积分强度 I_{AS_1} 和 a-SiO₂ 膜厚的关系

FIG. 9 Integrated Intensities for (a) Si—O—Si Bending Mode, I_{800} and (b) That for Sum of Both AS_1 and AS_2 Bands, I_{sum} , and for AS_1 Band, I_{AS_1} , Determined by Fitting the Absorption Spectra Shown in FIG. 7, as a Function of a-SiO₂ Film Thickness

按照众所周知的总和法则 (Sum-rule)^[17], A_{SiO} 可表述为:

$$A_{\text{SiO}} = c n \mu \omega / 2 \pi^2 e^*{}^2 \quad (\text{cm}^{-2}) \quad (4)$$

其中 c 是光速; n 是薄膜的折射率; μ 是 Si—O 键的有效质量; ω 是 Si—O—Si 伸缩振动频率; e^* 是 Si—O 键的有效电荷. 从实验可得 $n\omega$ 的乘积值, 当 x 从 0 增加到 2.0 时, 而从 3430 cm^{-1} 减少到 1588 cm^{-1} ^[13]. 因此, 我们推断 a-SiO_x : H 薄膜中的 Si—O 键的有效电荷 e^* 值随着 x 的增加而减少, 使得 A_{SiO} 值在整个 x 范围内保持为常数. Winer 等人^[18]认为 e^* 是和 Si—O 键的键长及 Si—O—Si 的

夹角的杂乱性相关. 杂乱性增加将使 e^* 的数值增大. 按照这个理论模型, 我们可以推测由于氧原子较硅原子呈较大的负电性, Si—O 键的结合能比 Si—Si 键的结合能大. 随着 a-SiO_x:H 中的氧原子含量的提高, Si—O 键长、Si—O—Si 键角的杂乱性将会减少, 从而使 e^* 的数值减少, 因此 A_{SiO} 为常数.

从图 8 所示 a-SiO₂ 膜的 800cm⁻¹ 和 1050cm⁻¹ 吸收峰的表现吸收系数 α_{app} 和膜厚 d 的比例关系, 我们分别求得比例系数 k 为 3.2×10^3 和 $2.9 \times 10^4 \text{ cm}^{-1}$. Wong^[9] 测试了在 450°C 的温度下用热 CVD 法沉积的 a-SiO₂ 薄膜的 α_{app} 和 d 的关系, 得到 800cm⁻¹ 和 1050cm⁻¹ 吸收峰的 k 值分别为 2.4×10^3 和 $2.5 \times 10^4 \text{ cm}^{-1}$, 并且发现将薄膜在 800°C 温度、15min 的条件下热处理后, k 值分别增大为 3.4×10^3 和 $3.4 \times 10^4 \text{ cm}^{-1}$. 另外, 高温(1000°C)热氧化 a-SiO₂ 薄膜的 1050cm⁻¹ 吸收峰的 k 值为 $3.5 \times 10^4 \text{ cm}^{-1}$ ^[8]. 一般认为低温下沉积的薄膜经高温热处理后, 膜中的缺陷态密度会降低, 致密性增强. 由此可见, k 系数的大小也反映了薄膜的质量, 即如果薄膜致密性好, 缺陷态密度低, 则 k 系数大. 比较上述 k 值, 发现本研究得到的 k 值较热 CVD SiO₂ 膜的值大, 但比高温热氧化膜的值小.

图 8 的结果还表明 FT-IR 也可用于测定 PECVD a-SiO₂ 的膜厚. 如果已知某一条件下制备的 a-SiO₂ 的 800cm⁻¹ 或 1050cm⁻¹ 吸收峰的系数 k 系数, 用 FT-IR 测得 α_{app} 后, 用 α_{app} 和 d 的比例关系即可求得膜厚. 值得注意的是 k 值随薄膜制备条件的变化而变化.

由于 PECVD a-SiO₂ 膜的 A_{SiO} 值和膜厚无关^[9], 因此由式(2)可知 I_{SiO} 的值与 a-SiO₂ 膜中的 Si—O—Si 键的密度 N_{SiO} , 即膜的致密性也有关. 图 9(a) 实验结果表明薄膜的致密性随膜厚的递增无变化. 而 I_{sum} 和 I_{AS_1} 随膜厚递增而增加的实验结果(图 9(b)) 也许是由 AS₂ 吸收带较宽, 它的吸收强度相对 AS₁ 吸收带随着 d 的递增而增加较快(图 7)的缘故.

AS₂ 吸收带随膜厚的递增而增强的起因以及其关联因素, 现在仍是讨论的重点. Kirk^[15] 认为 AS₂ 吸收带和 a-SiO₂ 中的化学结合结构的杂乱程度有关, 并且和 AS₁ 吸收带互相是有关联的. 如果 a-SiO₂ 结构的杂乱程度增加, AS₂ 吸收带的吸收强度就会增加, 同时 AS₁ 吸收带的吸收强度变小, 而 AS₁ 和 AS₂ 的吸收强度之和保持不变. 显然, 这个理论

模型和图 5(b) 的结果相吻合, 但和图 9(b) 中的 I_{sum} 和 I_{AS_1} 同时随膜厚的递增而增大的实验结果不合. 最近, Martinet 等人^[20] 在硅片上用热氧化法生长了 a-SiO₂, 测试研究了 Si—O—Si 伸缩振动模与膜厚 (< 500nm) 的依存关系. 通过比较理论和实验上得到的 Si—O—Si 伸缩模的吸收波形以及峰值的变化, 发现由于多重反射效应(纯几何效应) 会引起 AS₂ 吸收强度的增加. 总之, AS₂ 吸收带的相关因素我们将作进一步的研究探讨.

5 结论

本研究用 PECVD 法制备了 a-SiO_x:H (0 ≤ x ≤ 2.0) 薄膜, 并用傅里叶红外光谱(FT-IR) 测试分析了薄膜中的 Si—O—Si 键的红外吸收特性, 得出如下结论.

Si—O—Si 键伸缩振动模在 1050cm⁻¹ 和 1150cm⁻¹ 附近有两个吸收峰, 而 Si—O—Si 键的弯曲振动模在 800cm⁻¹ 附近有一个吸收峰. a-SiO_x:H 膜的 1050cm⁻¹ 和 1150cm⁻¹ 吸收带的吸收强度之和 I_{sum} 与薄膜中的 Si 原子密度 N_{Si} 之比 $I_{\text{sum}}/N_{\text{Si}}$ 在 $x = 0-2.0$ 的范围内和 x 成正比. 求得氧含量比例系数 A_{SiO} (Si—O 谐振子强度的倒数) 为 $1.48 \times 10^{19} \text{ cm}^{-1}$. 另外, a-SiO₂ 薄膜中 800cm⁻¹ 和 1050cm⁻¹ 吸收峰的表现吸收系数 α_{app} 被发现和膜厚 d 成正比: $\alpha_{\text{app}} = kd$, 吸收比例系数 k 分别为 3.2×10^3 和 $2.9 \times 10^4 \text{ cm}^{-1}$. 比较发现 k 值的大小和 a-SiO₂ 薄膜的密度密切相关. 利用上述比例系数, 可快速简便地用非破坏性的 FT-IR 测定 PECVD a-SiO_x:H 的氧含量 x 以及 a-SiO₂ 的膜厚 d .

参考文献

- [1] K. Hubner, J. Non-Cryst. Solids, 1980, **35/36**: 1011—1014.
- [2] J. J. Chang, Proc. IEEE, 1976, **64**: 1039—1042.
- [3] N. Shibada, Jpn. J. Appl. Phys., 1991, **30**: 997—1001.
- [4] G. Lucovsky, J. Yang, S. S. Chao, J. E. Tyler and W. Czubatyi, Phys. Rev., 1983, **B28**: 3225—3233.
- [5] B. G. Yacobi, R. W. Colins, G. Moddle, P. Viktorovitch and W. Paul, Phys. Rev., 1981, **B28**: 5907—5912.
- [6] F. Stolze, M. Zecharias, S. Schippel and B. Garke, Solid State Commun., 1993, **87**: 805—808.
- [7] G. Suchanech, O. Steinke, B. Alhallani and K. Schade, J. Non-Cryst. Solids, 1994, **169**: 29—36.

- [8] J. E. Dial, R. E. Gong and J. N. Fordemwalt, *J. Electrochem. Soc.*, 1968, **115**: 326—327.
- [9] J. Wong, *J. Appl. Phys.*, 1973, **44**: 5629—5630.
- [10] N. Maley, *Phys. Rev.*, 1992, **B46**: 2078—2085.
- [11] A. A. Langford, M. L. Fleet, B. P. Nelson, W. A. Langford and N. Maley, *Phys. Rev.*, 1992, **B45**: 13367—13377.
- [12] D. V. Tsu, G. Lucovsky and B. N. Davison, *Phys. Rev.*, 1989, **B40**: 1795—1804.
- [13] L. He, T. Inokuma, Y. Kurata and S. Hasegawa, *J. Non-Cryst. Solids*, 1995, **185**: 249—261.
- [14] C. T. Kirk, *Phys. Rev.*, 1988, **B38**: 1255—1273.
- [15] S. Hasegawa, L. He, T. Inokuma and Y. Kurata, *Phys. Rev.*, 1992, **B46**: 12487—12484.
- [16] HE Lenian, *Properties of Plasma-Deposited Amorphous SiO_2 Films*, *Chinese Journal of Vacuum Science and Technology*, 2000, **20**(4): 247[何乐年, *真空科学与技术学报*, 2000, **20**(4): 247].
- [17] S. O. Sari, P. Smith Hollingsworth and H. Oona, *J. Phys. Chem. Solids*, 1978, **36**: 975—960.
- [18] K. Winer and M. Cardona, *Solid State Commun.*, 1986, **60**: 207—211.
- [19] L. He, T. Inokuma and S. Hasegawa, *Jpn. J. Appl. Phys.*, 1996, **35**: 1873—1879.
- [20] C. Martinet and R. A. B. Devine, *J. Appl. Phys.*, 1995, **77**: 4343—4348.

Plasma-Enhanced Vapor Deposition Amorphous $\text{SiO}_x : \text{H}$ ($0 \leq x \leq 2.0$) Films by Infrared Absorption Spectroscopy*

HE Le-nian

(*Department of Information and Electronic Engineering, Zhejiang University, Hangzhou 310027, China*)

Abstract: Amorphous SiO_x ($0 \leq x \leq 2.0$) films were deposited at 300°C by plasma-enhanced chemical vapor deposition (PECVD) using $\text{SiH}_4\text{-O}_2$ mixtures. The properties of infrared (IR) absorption for Si—O—Si bonds have been investigated. Two characteristic absorption peaks at around 1050 and 1150cm^{-1} arise from Si—O—Si stretching mode, and one absorption peak at around 800cm^{-1} from Si—O—Si bending mode. It is found that $I_{\text{sum}}/N_{\text{Si}}$ ratio, of the sum of the absorption intensities for both 1000 and 1150cm^{-1} bands to the density of Si atoms increases linearly with x when x increasing from 0 to 2.0. The proportionality coefficient A_{SiO} (inverse of the oscillator strength) of the Si—O—Si stretching mode is obtained to be $1.48 \times 10^{19}\text{cm}^{-2}$. On the other hand, the apparent absorbance α_{app} in a- SiO_2 films is found linear with the increasing film thickness d as $\alpha_{\text{app}} = kd$, for both 800cm^{-1} and 1050cm^{-1} bands. The proportionality coefficients k for 800 and 1050cm^{-1} bands are obtained to be 3.2×10^3 and $2.9 \times 10^4\text{cm}^{-1}$. By comparison with the values of k reported in other papers, it indicates that k value is closely related to the film density. With the values of A_{SiO} and k above-mentioned, the O content in a- $\text{SiO}_x : \text{H}$ and film thickness for a- SiO_2 can be determined nondestructively using IR absorption techniques.

Key words: PECVD; amorphous $\text{SiO}_x : \text{H}$ films; infrared spectroscopy; Si—O—Si bonds

PACC: 8115H; 7830

Article ID: 0253-4177(2001)05-0587-07

* Project Supported by the Scientific Research Foundation for the Returned Overseas Chinese Scholars of State Education Ministry.

HE Le-nian male, was born in 1962. He is currently an associate professor. His research areas are the physics and technologies of Si-based films and devices.

Received 29 March 2000, revised manuscript received 5 June 2000

©2001 The Chinese Institute of Electronics